

## ЕСТЕСТВЕННЫЙ ЗАРЯД И ЕГО СВОЙСТВА

А.П. САВРУХИН, к. т. н., доцент кафедры физики МГУЛа

**Э**лементарные частицы как составные системы [1] образуют из дионов,夸рков с электрическим и магнитным зарядами [2], либо сочетанием электрического  $e$  и гравитационного  $(hc/2\pi)^{1/2}$  зарядов [3]. Другие авторы мыслят себе частицу как бегущий по кольцевой орбите фотон, образующий светоподобный круговой ток, или как сингулярное кольцо – торoidalный волновод для электромагнитной волны [4]. Приписав внутреннюю энергию частицы некоторому периодическому движению с частотой  $\nu = (1/h)m_0c^2/\beta$  [5], ряд авторов строит модели, в которых составные части частицы движутся со скоростью  $c$  по комптоновской круговой орбите [6]. Подробнее обзор таких моделей дан в работе [7].

Введем понятие естественного заряда  $Q$  [8] такого, что  $Q^2 = 4\epsilon_0hc$ , причем  $\alpha/2 = e^2/Q^2$  есть отношение квадратов электрического и естественного зарядов (здесь  $\epsilon_0$  – электрическая постоянная,  $h$  – постоянная Планка,  $c$  – скорость света,  $\alpha$  – постоянная тонкой структуры). Применяя соотношение для энергии фотона  $E_\gamma$ , частоты  $\nu$ , и длины волны  $\lambda_\gamma$ , то есть  $E_\gamma = h\nu = hc/\lambda_\gamma = Q^2/4\pi\epsilon_0(\lambda_\gamma/\pi)$ , находим, что фотон состоит из зарядов  $q_1$  и  $q_2$ , где  $q_1q_2 = Q^2$ ,  $q_1 + q_2 = 0$  и  $q_{1,2} = \pm jQ$ .

Примером вращательного движения зарядов вида  $q_3$  и  $q_4$  с орбитальной скоростью  $c$  может служить электрон:

$$q_3q_4 = Q^2; q_3 + q_4 = -e \text{ и} \\ q_3q_4 = -0,5[1 \pm j(8/\alpha - 1)^{1/2}].$$

Здесь энергия взаимодействия субчастиц определяет энергию невозбужденного электрона с массой  $m_0 = E_0/c^2$ :

$$E_0 = hc/\lambda_0 = Q^2/4\pi\epsilon_0(\lambda_0/\pi), \quad (1)$$

где  $\lambda_0$  – длина орбиты,  $\lambda_0/\pi$  – расстояние между зарядами  $q_3$ ,  $q_4$ .

В представленной модели с круговым током, образованным замкнутой электромагнитной волной, безмассовые заряды служат обозначением места сгущения поля. Магнитный момент такого витка в нулевом приближении равен магнетону Бора

$$\mu_e = is = (ec/\lambda_0)(\pi\lambda_0^2/4\pi^2) = ehc^2/4\pi E_0,$$

где  $i$  – ток;  $s$  – площадь витка.

Магнитная энергия витка будет равна

$$E_{0B} = Li^2/2 = (\mu_0\lambda_0/2)(ec/\lambda_0)^2/2 = E_0\alpha/2, \quad (2)$$

где  $L$  – индуктивность витка;  $\mu_0$  – магнитная постоянная.

Энергия электрического поля будет равна

$$E_{0E} = e^2/4\pi\epsilon_0(\lambda_0/\pi) = E_0\alpha/2. \quad (3)$$

В целом электромагнитная энергия равна  $E_{0m} = E_{0B} + E_{0E} = E_0\alpha$ .

Когда электрон движется равномерно и прямолинейно со скоростью  $v$ , орбитальная скорость субчастиц будет равна  $u$ , тогда как полная скорость их движения (в данном случае по винтовой линии) всегда равна  $c$ , причем проекция траектории на плоскость, перпендикулярную к направлению движения, будет иметь вид окружности.

Умножив все члены уравнения  $c^2 = u^2 + v^2$  на  $P^2/c^2$ , получим

$$P^2 = P^2u^2/c^2 + P^2v^2/c^2,$$

где  $Pu/c$  и  $Pv/c$  – взаимно ортогональные проекции полного импульса  $P = mc$ , где  $m$  – масса электрона, поэтому  $Pu/c = \text{const}$ . Когда  $v = 0$  и  $u = c$ ,  $P = P_0 = m_0c$ ,  $Pu/c = P$ , и, следовательно,  $Pu/c \equiv P_0$ . В общем случае

$$P = (P_0^2 + P^2v^2/c^2)^{1/2} = P_0/\beta; \quad (4)$$

$$E = E_0 / \beta = [E_0^2 + (Pv)^2]^{1/2} = (E_0^2 + E_i^2)^{1/2}, \quad (5)$$

где  $\beta = (1 - v^2/c^2)^{1/2}$ ;  $E_0/E = (1 + T/E_0)^{-1} = v/c$ ;  $E$  – энергия электрона;  $Pv = E_i$  – импульсная энергия. Скалярное равенство (5) отвечает векторной сумме  $\vec{E} = \vec{E}_0 + \vec{E}_i$ , причем  $E^2 = E_0^2 + E_i^2 + 2E_0E_i \cos\theta$ , где  $\theta$  – угол между векторами. В рассматриваемом случае  $\theta = \pi/2$ , и  $E^2 = E_0^2 + E_i^2$ . Однако, если возбуждается неподвижный электрон, а внешний импульс совпадает с орбитальным по направлению, то угол  $\theta = 0$  и  $E = E_0 + E_i = E_0 + T$ , где  $T$  – релятивистская кинетическая энергия.

На рис. 1 в плоскости энергий изображен прямоугольный  $\Delta OAC$  с катетами  $OA = E_0$ ,  $AC = E_i$  и гипотенузой  $OC = E_0 + T$ , причем угол  $\theta = \pi/2$ . Исходно электрон определен как частица, обладающая энергией с модулем  $E_0$  и аргументом  $\phi_0$ . Энергия  $E_0$  имеет компонентами энергии сильного внутреннего ОМ =  $E_{0h}$  и электромагнитного наружного ОЕ =  $E_{0m}$  полей, поэтому

$$E_0^2 = E_{0h}^2 + E_{0m}^2 = E_{0h}^2 + E_0^2 \alpha^2; \quad (6)$$

$$E_{0h}^2 = E_0 (1 - \alpha^2)^{0.5}; \quad (7)$$

$$\phi_0 = \operatorname{arctg} E_{0h}/E_{0m} = \operatorname{arctg} (\alpha^{-2} - 1)^{0.5} \approx \operatorname{arctg} 137. \quad (8)$$

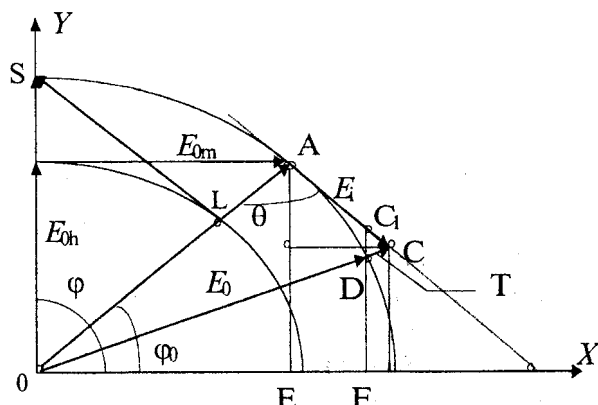


Рис. 1. Образование атома водорода

Это прообраз электрона (элон), имеющий модуль ОМ =  $E_{0h}$  и аргумент  $\phi = \pi/2$  является вращательным подобием фотона, также состоит из зарядов  $q_1$ ,  $q_2$  и обладает только внутренним сильным полем. С вектором МА =  $E_{0m}$  элон приобретает наружное электромагнитное поле и превращается в электрон. Величина собственного момента количества движения или момента импульса полного поля равна  $P\lambda/2\pi = mc\lambda/2\pi = m_0c\lambda_0/2\pi = h/2\pi$ , и кратна спину  $h/4\pi$  фермиона. Следовательно, спин, орбитальный импульс  $m_0c$ , энергия  $E_0$ , длина волны  $\lambda_0$  и частота  $c/\lambda_0$  сохраняются во всех инерциальных системах.

Свойство инертности заключается в том, что увеличение скорости частицы ведет к уменьшению расстояния между субчастицами, сопровождающееся ростом энергии их взаимодействия за счет работы внешних источников, а инертная масса есть коэффициент связи этой энергии частицы с ее скоростью.

#### Условия образования атома водорода

Обычно измеряют не энергию всех полей тела, а массу  $m_0 = E_0/c^2$ . Инертность же удобнее определять через коэффициент  $dE/dv = m_0v/\beta^3$ , который при  $v \ll c$  и  $\beta \approx 1$  просто равен импульсу  $m_0v$ . Как показано ниже, резонансы имеют место при целых  $n = c/v$ , и тогда  $dE/dv = P_0/n$ .

Произведя в формуле (5) известные преобразования  $E = hc/\lambda$ ,  $E_0 = hc/\lambda_0$ ,  $E_i = hc/\lambda_b$  формально получим  $1/\lambda^2 = 1/\lambda_0^2 + 1/\lambda_b^2$  и  $\lambda_b = \lambda\lambda_0(\lambda_0^2 - \lambda^2)^{-0.5} = \lambda_0\beta c/v = \lambda, \beta = \lambda c/v$ , (9) где  $\lambda_r = 2\pi\tau$ ;  $\tau = \lambda_0c/2\pi v$  – радиус кручения винтовой линии;  $\lambda_b$  – дебройлевская длина волны.

На рис. 2 изображена развертка воображаемого цилиндра

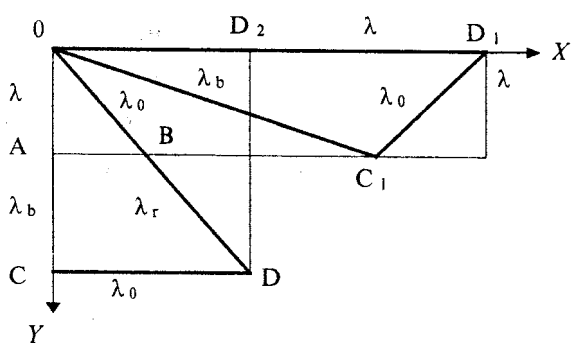


Рис. 2. Развёртка траектории движения  
электрона радиуса  $\lambda/2\pi$

За один период  $\lambda_0/c$  собственных колебаний частицы заряд проходит путь ОВ =  $\lambda_0$ , равный длине витка, а центр электрона переместится по направлению оси ОХ на один шаг АВ =  $\lambda_0v/c$ . За  $n = c/v$  шагов путь электрона будет равен СД =  $\lambda_0$ , ОС =  $\lambda n = \lambda_b$ , а путь заряда ОД =  $n\lambda_0 = \lambda_b/\beta = \lambda_r$ . Повернув  $\Delta OCD$  в положение  $\Delta O C_1 D_1$  находим, что величина  $OD_1 = \lambda_r = OD$  есть путь распространения возмущения из (O) до (D<sub>1</sub>) со скоростью  $c$  за время перемещения электрона по пути  $OD_2 = \lambda_0$ . Как  $\lambda$  есть проекция  $\lambda_0$ , так и дебройлевская длина волны  $\lambda_b$  есть проекция длины волны кручения  $\lambda_r = 2\pi t$ .

Итак,  $\lambda$  есть проекция траектории зарядов  $q_3$ ,  $q_4$ , энергетическая длина волны электрона  $hc/E$ , тогда как  $\lambda_0$  есть собственная, комптоновская длина волны как длина орбиты невозбужденного электрона, неизменная длина витка, длина волны по отношению к орбитальному импульсу.

При малых энергиях резонансное взаимодействие двух частиц будет иметь место при целых  $n = c/v = \lambda_b/\lambda = \lambda_r/\lambda_0$ . У невозбужденного электрона с длиной волны  $\lambda_0$  путь обмена энергией между субчастицами имеет длину  $\lambda_0/\pi$  (1). Подобно этому, длина пути обмена энергией между двумя частицами будет равна в случае резонанса величине  $\lambda_r/\pi = 2\tau = \lambda_b/\pi\beta = \lambda_0c/\pi v$ . Друг-

гими словами, наименьший путь частицы равен  $\lambda_0/\pi$ , тогда и наименьшая дистанция равна  $\lambda_r/\pi$ . В статике электрон обладает импульсом, энергией  $E_{0m}$  и соответствующей дебройлевской длиной волны, определяющей расстояние резонансного взаимодействия по электромагнитному каналу  $\lambda_{0bm} = hc/E_0\alpha = \lambda_0/\alpha$ .

В движении, заменив в формуле (2)  $c^2$  на  $u^2$  и  $\lambda_0$  на  $\lambda$ , получим  $E_B = E_0\beta\alpha/2$ ; а из (3) получим  $E_E = E_0\alpha/2\beta$ . Тогда полная энергия наружного электромагнитного поля будет равна

$$E_m = E_B + E_E = 0,5E_0\alpha(\beta + 1/\beta), \quad (10)$$

причем ее длина волны составит величину

$$\lambda_{bm} = \lambda_0 / 0,5\alpha(\beta + 1/\beta). \quad (11)$$

Доля энергии сильного поля в наружном поле будет равна  $E_h = OH - E_m$ . Из подобия треугольников ОАЕ и АКС следует:  $KC = E_i(1 - \alpha^2)^{0.5} = EH$ . Тогда получим

$$E_h = \text{OE} + \text{EH} - E_m = \\ = E_{0\alpha} + E_i (1 - \alpha^2)^{0.5} - 0.5 E_0 \alpha (\beta + 1/\beta). \quad (12)$$

Из изложенного следует вывод: глубокий резонанс имеет место тогда, когда расстояние между частицами  $x = \lambda_{bh}/\beta\pi = \lambda_{bh}/\beta\pi$ , где  $\lambda_{bh} = hc/E_h$ , то есть условия резонанса должны одновременно выполняться и по сильному и по электромагнитному взаимодействиям.

Так, при образовании атома водорода требуется, чтобы  $\lambda_{bm} = \lambda_{bh}$  и  $E_m = E_h$ . Тогда из соотношений (10) и (12) следует  $E_i = E_0\alpha + E_0\alpha^3/2$ , где  $E_0\alpha = MA = E_{0m}$ , а  $E_0\alpha^3/2$  равна проекции вектора LA на ось ОХ. Здесь  $E_i$  есть длина вектора AS. Подобно тому, как элон с вектором MA приобретает дополнительную энергию LA, так и элон с энергией OL и вектором LS = MA приобретает энергию SM. Однако при деионизации до резонанса энергия электрона не изменяется и конец вектора OA только перемещается из ()A в ()S. Поэтому вектор AS пре-

вращается в дугу AS с проекцией  $E_{0m}$  на ось ОХ. При резонансном переходе из ( $\cdot$ )S в ( $\cdot$ )M высвобождается энергия  $SM = E_0\alpha^2/2$  в виде фотона. Когда процесс совершается при наличии внешних воздействий (например, в плазме), вектор OM может совершать колебания вокруг положения равновесия и тогда возможно формирование цуга электромагнитных волн.

Рассмотрим физическую сторону явления. Расстояние начала резонанса равно  $x_1 = \lambda_0/\pi\alpha$  (7),  $\beta \approx 1$ , энергия магнитного взаимодействия между протоном и электроном мала:  $\mu_e B_p = \mu_0 \mu_e \mu_p / 2\pi x_1^3 = 1,6 \times 10^{-7}$  эВ энергия кулоновского взаимодействия равна  $W_e = e^2/4\pi\epsilon_0 x_1 = E_0\alpha^2/2$  и выражена в виде кинетической энергии  $T$ . Здесь  $\mu_0$  – магнитный момент протона;  $B_p$  – индукция магнитного поля протона в окрестности электрона. В расталкивающем растущем сильном поле электрон тормозится вплоть до полной остановки. Действительно, поток индукции поля естественного заряда электрона через его поверхность равен заряду  $\Phi_{EQ} = Q4\pi(\lambda_0/2\pi)^2/4\pi\epsilon_0 x^2$ . Поток напряженности поля естественного заряда протона через площадь электрона равен  $\Phi_{EQ} = Q4\pi(\lambda_0/2\pi)^2/4\pi\epsilon_0 x^2$ .

Тогда

$$0,5\Phi_{DQ}\Phi_{EQ} = 2hc(\lambda_0/2\pi)^2/x^2 = W_Q\lambda_0, \quad (13)$$

где  $W_Q = 2E_0(\lambda_0/2\pi)^2/x^2$  – энергия сильно-го взаимодействия, которая при  $x = x_1$  равна  $W_{Q1} = E_0\alpha^2/2$ .

Состояние атома устойчиво, так как  $W_e = 1/x$ , а  $W_Q \sim 1/x^2$ , при сжатии быстрее растет расталкивание, а при растяжении – взаимное притяжение, причем диапазон устойчивости равен  $E_0\alpha^2/2 = 13,6$  эВ на ионизацию, и на несколько порядков выше на сжатие в квазистатическом случае. Из изложенного следует, что атомная физика должна основываться на изучении процессов, свойственных как электромагнитному, так и сильному взаимодействиям. В частности, это

касается проблемы несжимаемости жидкости, «памяти» металлов и воды, лазерного стимулирования реакций превращения элементов.

С учетом конечности массы протона величина энергии излучаемого фотона будет равна [7]:

$$E_\gamma = E_0\alpha^2 K_2 / 2K_1 n^2, \quad (14)$$

где  $n = 1, 2, \dots$  – главное квантовое число;  $K_1 = (1 + \alpha^2/4)/(K + \alpha^2/4)$ ;  $K = m_{0p}/m_{oe}$ ;  $m_{0p}$  – масса протона;  $K_2 = 1 + \alpha^2/4K_1 + (\alpha^2/4K_1)^2$ .

### Превращения частиц

На рис. 1 показан случай, когда  $E_i = AN$ . Из подобия  $\Delta OAE$  и  $\Delta OAN$  следует  $ON = E_0/\alpha$ . Но при больших энергиях  $OE = E_0\alpha/2$ , так как  $E_B \ll E_E$ , поэтому следует принять:

$$ON = 2E_0/\alpha = 140,05 \text{ МэВ} \approx m_\pi + m_0 = 139,57 + 0,511 = 140,08 \text{ МэВ},$$

где  $m_\pi$  – масса пиона.

Схема обратного процесса, а именно распада пиона из состояния покоя  $\pi \rightarrow \mu\nu_\mu$  дана на рис. 3.

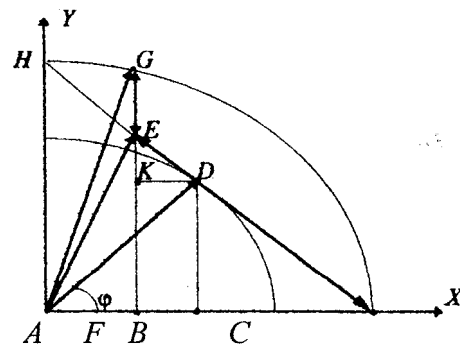


Рис. 3. Схема распада  $\pi \rightarrow \mu\nu_\mu$

Здесь окружности имеют радиусы  $AG = m_\pi$  и  $AD = m_\mu$ , где  $m_\mu$  – масса мюона. При двухчастичном распаде импульсы частиц  $\mu$  и  $\nu_\mu$  равны  $P$ , причем, как известно,  $Pc = (m_\pi^2 - m_\mu^2)/2m_\pi$ . Нейтрино  $\nu_\mu$  не имеет электрического заряда, поэтому его импульс

$GE = P_c$  направлен вертикально. После отделения нейтрино энергия мюона равна  $AE$ , и после потери мюоном импульса  $ED$  при торможении в среде, она станет равной  $AD$ , причем  $EK = GE = P_c$ . Из исходной системы уравнений:

$$\begin{aligned} AF^2 &= m_\pi^2 - (BD + 2Pc)^2; \\ AF &= AB - P_c BD / AB; \\ AB^2 &= m_\mu^2 - BD^2, \end{aligned} \quad (15)$$

получим

$$\begin{aligned} BD^3 - 0,75BD^2\left(m_\pi/3 + m_\mu^2/m_\pi\right) - \\ - BDm_\mu^2 + m_\mu^4/m_\pi = 0, \end{aligned} \quad (16)$$

и  $BD = 68,937$  МэВ,  $AB = 80,07$  МэВ,  $EF = 98,929$  МэВ,  $AF = 54,42$  МэВ,  $AC = 139,42$  МэВ ( $\approx m_\pi = 139,57$  МэВ).

Вкратце изложим особенности рассмотренных частиц.

**Электрон:** 1) энергии наружных и электрического и магнитного полей равны между собой  $E_{0E} = E_{0B}$ ; 2) энергии внутреннего сильного и наружного электрического полей относятся приблизительно как квадраты естественного и электрического зарядов  $E_{0h}/E_{0E} \approx 2/\alpha$ ; 3) элон, прообраз электрона, имеет только внутреннее сильное поле; 4)  $E_{0h}/E_{0m} \approx 1/\alpha$ .

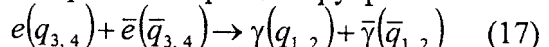
**Протон:** 1)  $E_{0Ep} \gg E_{0Bp}$ ; 2)  $E_{0hp}/E_{0mp} \approx E_{0hp}/E_{0Ep} \approx 2/\alpha$ .

**Пион:** 1) может иметь состояние с нулевой энергией внутреннего поля; обладая только наружным полем, может служить переносчиком поля; 2) энергия магнитного поля мала, энергия электрического поля равна энергии электрона  $E_{m\pi} = E_{E\pi} = E_0$  и относится к энергии сильного наружного поля как  $\alpha/2$ ; 3) может стать прямым преобразованием электрона и, наоборот, иметь нейтринный распад на электрон.

**Мюон:** 1) Имеет аргумент  $\phi = 0,71 \approx \pi/4$ , это означает, что у мюона приблизительно равны энергии внутреннего и наружного сильных полей; 2) допускает прямое преоб-

разование в пион, может быть результатом распада пиона.

**Аннигиляция.** Реакция превращения пары электрон-позитрон в пару фотонов



происходит следующим образом. В процессе сближения и образования позитрона внешнее электрическое поле частиц сворачивается (по схеме деионизации атома), векторы поворачиваются против часовой стрелки до вертикального положения, заряды  $q_3, q_4$  теряют действительную часть. Если теперь достигается состояние совпадения импульсов соответствующих зарядов, осуществляется перестройка пар (перекомпоновка зарядов), а затем и разлет новых пар, причем условия резонанса выполняются по всем каналам, включая магнитное взаимодействие. Здесь собственные частоты частиц совпадают, и это есть условие, приводящее к возникновению гигантского резонанса.

### Квантование волновых объемов

Образование фотона при деионизации атома водорода подобно процессу в резонаторе Гельмгольца, представляющим собой сферу объемом  $V$ , снабженную трубкой длиной  $l$  и сечением  $S$ . Если  $V \sim \lambda_b^3 \sim (\lambda_0/\alpha)^3$ ;  $l \sim \lambda_b$ ;  $S \sim \lambda_0^2/4\pi$ , то резонансная длина волны (длина волны фотона) будет равна  $\lambda_\gamma = (Vl/S)^{0.5} = 2\lambda_0/\alpha^2 = 1/R_\infty$ , где  $R_\infty$  – постоянная Ридберга. Этот главный резонанс имеет место при  $\lambda_{bh} = \lambda_{bm}$ . Если расстояние между частицами содержит целое число  $n$  длин  $x_1 = \lambda_0/\alpha\pi$ , то  $E_m > E_h$  и резонанс будет иметь место только по электромагнитному каналу:  $\lambda_{\gamma n} = 2\lambda_0 n^2/\alpha^2$ .

Так определяются энергии бальмеровских термов. В свою очередь  $x_1$  содержит целое число  $n_1$  диаметров электрона  $\lambda_0/\pi$ , поэтому следует ожидать частных резонансов ( $\lambda_{bh} > \lambda_{bm}$ ) по сильному каналу с  $\lambda_{\gamma n_1} = 2\lambda_0 n_1^2$  (если электрон предварительно ускорялся и  $n_1 < 1/\alpha$ ). Но и при  $n_1 > 1/\alpha$  мо-

жет наблюдаться явление расщепления вырожденных уровней  $2S_{1/2}$  (лэмбовский сдвиг), приводящее к появлению дополнительных линий. Иначе говоря, разность час-

тот соседних линий будет очень малой, так как  $\Delta\nu \sim n_1^{-3}$ , а не  $n^{-3}$ , причем  $n_1 \gg n$ .

Таблица

## Массы легких нейтральных мезонов с двухфотонным распадом

<i>B</i>	Рассчитанные массы, МэВ	Экспериментальные массы, МэВ	$\pm \Delta m$ , МэВ	Название частицы
1	2	3	4	5
1	938,28	938,28	< 0,01	$p$
2	744,71	745	5	$\rho^0$
3	650,57	650	3	$2\pi, 2\gamma$
4	591,08	591		$2\gamma$
5	548,71	548,8	0,6	$\eta_0$
6	516,35	510		$2\pi$
7	490,49	490	10	$2\gamma$
8	469,14	465	20	DEF
		470	17	$2\gamma$
9	451,08	450	20	DEF
10	435,51	440	30	»
11	421,89	420	17	$2\gamma$
12	409,83	408	53	$2\gamma$
13	399,04	398	20	$2\gamma$
14	389,30	389	10	$2\gamma$
15	380,45	380		$\mu e$
16	372,36	372		ABC
17	364,91	365	23	»
18	358,02	356		$2\pi$
19	351,63	352	23	ABC
20	345,66	345	16	»
21	340,09	340	13	»
22	334,86	335	16	»
24	325,28	325	10	»
25	320,89	320	14	»
26	316,72	316	11	»
27	312,76	312	13	»
28	309,0	310	12	»
29	305,4	305	12	»
30	301,97	302	7	»
31	298,68	300	19	»
32	295,54	297	12	»
33	292,52	292		$2\gamma$
34	289,63	290	24	ABC
35	286,84	286	12	»
36	284,16	284		»
38	279,09	280	28	»
40	274,35	274		»
43	267,82	268		»
336	134,96	134,96	< 0,04	$\pi^0$

Образование фотонов в реакции  $pp \rightarrow \gamma\gamma$  при импульсах порядка 1 ГэВ имеет особенностями равенство масс сталкивающихся частиц и равенство энергий фотонов, причем последние могут образовывать состояния типа  $\eta^0$ , ABC, DEF,  $\pi^0$ .

Пусть на рис. 1  $OA = E_{0p}$ ,  $AC = P_1c$ ,  $OC = E_p$ ,  $DC = T_1$ ,  $MA = E_{0p}\alpha/2$ ,  $OH = MA + KC = E_{0p}\alpha/2 + P_1c \cos(0,5\pi - \varphi_0)$ . Через ()D проведем вертикаль  $C_1F_1$  и найдем  $P_2c = AC_1$ . Из того, что  $E_p/OH = E_{0p}/OF_1$ , получим  $OF_1 = OH/(1 + T_1/E_{0p})$ . Тогда

$$\begin{aligned} P_2c &= (OF_1 - MA)/\cos(0,5\pi - \varphi_0) = \\ &= OH/\cos(0,5\pi - \varphi_0)(1 + T_1/E_{0p}) - \\ &- E_{0p}\alpha/2\cos(0,5\pi - \varphi_0) = P_1c/(1 + T_1/E_{0p}) - \\ &- \alpha T_1/2(1 + T_1/E_{0p})\cos(0,5\pi - \varphi_0). \end{aligned}$$

Отсюда  $(P_2c)^{-2} = (P_1c)^{-2} + E_{0p}^{-2}$ ,  $\lambda_{b2}^2 = \lambda_{b1}^2 + \lambda_0^2$ , и начиная отсчет с  $P_1c \gg E_{0p}$  и  $\lambda_{b1} \ll \lambda_0$ , получим  $\lambda_{bn}^2 = n_2\lambda_0^2$ , и  $\lambda_\gamma = n_2\lambda_0$ . Это означает, что кроме квантования по диаметру электрона, должно наблюдаться квантование по шагу  $h$ :  $\lambda_b \sim n^{0,5}\lambda_0$ . Но опытный спектр энергий пар фотонов еще более плотный. Поэтому было сделано предположение [8] о том, что в области значительных энергий обе резонирующие полости сближаются настолько, что каждый нуклон становится сферическим резонатором. Известно, что радиус  $R$  атомного ядра зависит от числа нуклонов  $A$ :  $R = rA^{1/3}$ , где  $r = 1,3 - 1,7 \times 10^{-15}$  м. На резонирующую полость радиуса  $r \approx \lambda_{0p}$  может формироваться мезон с длиной волны  $\lambda_\pi = 2\pi r = 2\pi\lambda_{0p}$  ( $1 - 1,31$ ) и массой  $m_\pi = \hbar c/\lambda_\pi = (114 - 149)$  МэВ, что соответствует пику в области масс  $\pi^0$ ,  $\pi^+$  и  $\pi^-$  мезонов (например, в реакции

$d + p \rightarrow \text{He}^3 + \pi^0$ ,  $d + p \rightarrow \text{He}^3 + \pi^+$  [9]). Поскольку  $r > \lambda_{0p}/2\pi$ , нуклон в ядре окружен сильным полем, энергия которого превышает энергию электрического поля протона  $m_{0p}\alpha/2 = 3,42$  МэВ на энергию связи, равную по порядку величины  $\sim 1$  МэВ на нуклон. Подобно тому как объемы ядер  $\sim R^3$  содержат целое число объемов  $\sim r^3$ , кратных комптоновским объемам протона  $\lambda_{0p}^3$ , дебройлевские объемы возбужденных протонов могут служить сферическими резонаторами для фотонов. Это значит, что длины волн  $\lambda_\gamma$  мезонов типа  $\pi^0(\eta^0) \rightarrow \gamma\gamma$  будут равны  $\lambda_\gamma = \lambda_{0p}B^{1/3}$ , а массы таких мезонов будут равны

$$m_\gamma = m_{0p}B^{-1/3}, \quad (18)$$

где  $B = 1, 2, 3, \dots$

## Литература

1. Heisenberg W. // Phys. Today. – 1976. – V. 29. – № 3. – p. 32.
2. Гейзенберг В. УФН. – 1977. – Т. 121. – № 4. – С. 658–668.
3. Schwinger J. // Science. – 1969. – V. 165. – № 3895. – Р. 757–761.
4. Швингер Ю. УФН. – 1971. – Т. 103. – № 2. – С. 355.
5. Motz L. // Nuovo Cim. – 1977. – V. A37. – № 1. – Р. 13–20.
6. Иваненко Д.Д., Буринский А.Я. Известия вузов. Физика. – 1978. – № 7. – С. 113–119.
7. Бродиль де Л. УФН. – 1977. – Т. 122. – № 4. – С. 562–570.
8. Broglie de Louis // Phil. Mag. and J. Sci. – 1924. – V. 47 (278). – P. 446–458.
9. Chacko T. // Intern. J. Theor. Phys. – 1974. – V. 11. – № 1. – Р. 1–4; 1975. – V. 12. – № 2. – Р. 95–102.
10. Саврухин А.П. Исследование свойств естественного заряда // Монография. – М.: МГУЛ, 1998. – 51 с.
11. Саврухин А.П. О нормировании масс элементарных частиц // Научн. тр. / МЛТИ. – 1978. – Вып. 103. – С. 176–179.
12. Banaigs J. [et. al.] // Nuclear Phys. Rev. Lett. – 1977. – V. 355A. – Р. 481–492.